

PROVA PENETROMETRICA DINAMICA

Committente: Comune di Caltavuturo

Oggetto: Prove penetrometriche per l'ampliamento del campo sportivo del comune di Caltavuturo

Località: Caltavuturo (Pa)

Caratteristiche Tecniche-Strumentali Sonda: DPM (DL030 10) (Medium)

Rif. Norme	DIN 4094
Peso Massa battente	30 Kg
Altezza di caduta libera	0.20 m
Peso sistema di battuta	21 Kg
Diametro punta conica	35.68 mm
Area di base punta	10 cm ²
Lunghezza delle aste	1 m
Peso aste a metro	2.9 Kg/m
Profondità giunzione prima asta	0.80 m
Avanzamento punta	0.10 m
Numero colpi per punta	N(10)
Coeff. Correlazione	0.761
Rivestimento/fanghi	Si
Angolo di apertura punta	60 °

RESPONSABILE

PROVE PENETROMETRICHE DINAMICHE CONTINUE
(DYNAMIC PROBING)

DPSH – DPM (... scpt ecc.)

Note illustrative - Diverse tipologie di penetrometri dinamici

La prova penetrometrica dinamica consiste nell'infiggere nel terreno una punta conica (per tratti consecutivi δ) misurando il numero di colpi N necessari.

Le Prove Penetrometriche Dinamiche sono molto diffuse ed utilizzate nel territorio da geologi e geotecnici, data la loro semplicità esecutiva, economicità e rapidità di esecuzione.

La loro elaborazione, interpretazione e visualizzazione grafica consente di "catalogare e parametrizzare" il suolo attraversato con un'immagine in continuo, che permette anche di avere un raffronto sulle consistenze dei vari livelli attraversati e una correlazione diretta con sondaggi geognostici per la caratterizzazione stratigrafica.

La sonda penetrometrica permette inoltre di riconoscere abbastanza precisamente lo spessore delle coltri sul substrato, la quota di eventuali falde e superfici di rottura sui pendii, e la consistenza in generale del terreno.

L'utilizzo dei dati, ricavati da correlazioni indirette e facendo riferimento a vari autori, dovrà comunque essere trattato con le opportune cautele e, possibilmente, dopo esperienze geologiche acquisite in zona.

Elementi caratteristici del penetrometro dinamico sono i seguenti:

- peso massa battente M
- altezza libera caduta H
- punta conica: diametro base cono D, area base A (angolo di apertura α)
- avanzamento (penetrazione) δ
- presenza o meno del rivestimento esterno (fanghi bentonitici).

Con riferimento alla classificazione ISSMFE (1988) dei diversi tipi di penetrometri dinamici (vedi tabella sotto riportata) si rileva una prima suddivisione in quattro classi (in base al peso M della massa battente) :

- tipo LEGGERO (DPL)
- tipo MEDIO (DPM)
- tipo PESANTE (DPH)
- tipo SUPERPESANTE (DPSH)

Classificazione ISSMFE dei penetrometri dinamici:

Tipo	Sigla di riferimento	peso della massa M (kg)	prof.max indagine battente (m)
Leggero	DPL (Light)	$M \leq 10$	8
Medio	DPM (Medium)	$10 < M < 40$	20-25
Pesante	DPH (Heavy)	$40 \leq M < 60$	25
Super pesante (Super Heavy)	DPSH	$M \geq 60$	25

penetrometri in uso in Italia

In Italia risultano attualmente in uso i seguenti tipi di penetrometri dinamici (non rientranti però nello Standard ISSMFE):

- DINAMICO LEGGERO ITALIANO (DL-30) (MEDIO secondo la classifica ISSMFE)
massa battente M = 30 kg, altezza di caduta H = 0.20 m, avanzamento δ = 10 cm, punta conica ($\alpha=60-90^\circ$), diametro D 35.7 mm, area base cono $A=10 \text{ cm}^2$ rivestimento / fango bentonitico : talora previsto;

- DINAMICO LEGGERO ITALIANO (DL-20) (MEDIO secondo la classifica ISSMFE)
 massa battente $M = 20$ kg, altezza di caduta $H=0.20$ m, avanzamento $\delta = 10$ cm, punta conica ($\alpha= 60-90^\circ$), diametro D 35.7 mm, area base cono $A=10$ cm² rivestimento / fango bentonitico : talora previsto;
- DINAMICO PESANTE ITALIANO (SUPERPESANTE secondo la classifica ISSMFE)
 massa battente $M = 73$ kg, altezza di caduta $H=0.75$ m, avanzamento $\delta=30$ cm, punta conica ($\alpha = 60^\circ$), diametro $D = 50.8$ mm, area base cono $A=20.27$ cm² rivestimento: previsto secondo precise indicazioni;
- DINAMICO SUPERPESANTE (Tipo EMILIA)
 massa battente $M=63.5$ kg, altezza caduta $H=0.75$ m, avanzamento $\delta=20-30$ cm, punta conica conica ($\alpha = 60^\circ-90^\circ$) diametro $D = 50.5$ mm, area base cono $A = 20$ cm², rivestimento / fango bentonitico : talora previsto.

Correlazione con N_{spt}

Poiché la prova penetrometrica standard (SPT) rappresenta, ad oggi, uno dei mezzi più diffusi ed economici per ricavare informazioni dal sottosuolo, la maggior parte delle correlazioni esistenti riguardano i valori del numero di colpi N_{spt} ottenuto con la suddetta prova, pertanto si presenta la necessità di rapportare il numero di colpi di una prova dinamica con N_{spt}. Il passaggio viene dato da:

$$N_{spt} = \beta_t N$$

Dove:

in cui Q è l'energia specifica per colpo e Q_{spt} è quella riferita alla prova SPT.

L'energia specifica per colpo viene calcolata come segue:

in cui

- M = peso massa battente;
- M' = peso aste;
- H = altezza di caduta;
- A = area base punta conica;
- δ = passo di avanzamento.

Valutazione resistenza dinamica alla punta R_{pd}

Formula Olandesi

- R_{pd} = resistenza dinamica punta (area A);
- e = infissione media per colpo (δ/ N);
- M = peso massa battente (altezza caduta H);
- P = peso totale aste e sistema battuta.

Metodologia di Elaborazione.

Le elaborazioni sono state effettuate mediante un programma di calcolo automatico Dynamic Probing della *GeoStru Software*.

Il programma calcola il rapporto delle energie trasmesse (coefficiente di correlazione con SPT) tramite le elaborazioni proposte da Pasqualini 1983 - Meyerhof 1956 - Desai 1968 - Borowczyk-Frankowsky 1981.

Permette inoltre di utilizzare i dati ottenuti dall'effettuazione di prove penetrometriche per estrapolare utili informazioni

geotecniche e geologiche.

Una vasta esperienza acquisita, unitamente ad una buona interpretazione e correlazione, permettono spesso di ottenere dati utili alla progettazione e frequentemente dati maggiormente attendibili di tanti dati bibliografici sulle litologie e di dati geotecnici determinati sulle verticali litologiche da poche prove di laboratorio eseguite come rappresentazione generale di una verticale eterogenea disuniforme e/o complessa.

In particolare consente di ottenere informazioni su:

- l'andamento verticale e orizzontale degli intervalli stratigrafici,
- la caratterizzazione litologica delle unità stratigrafiche,
- i parametri geotecnici suggeriti da vari autori in funzione dei valori del numero dei colpi e delle resistenze alla punta.

Valutazioni statistiche e correlazioni

Elaborazione Statistica

Permette l'elaborazione statistica dei dati numerici di Dynamic Probing, utilizzando nel calcolo dei valori rappresentativi dello strato considerato un valore inferiore o maggiore della media aritmetica dello strato (dato comunque maggiormente utilizzato); i valori possibili in immissione sono :

Media

Media aritmetica dei valori del numero di colpi sullo strato considerato.

Media minima

Valore statistico inferiore alla media aritmetica dei valori del numero di colpi sullo strato considerato.

Massimo

Valore massimo dei valori del numero di colpi sullo strato considerato.

Minimo

Valore minimo dei valori del numero di colpi sullo strato considerato.

Scarto quadratico medio

Valore statistico di scarto dei valori del numero di colpi sullo strato considerato.

Media deviata

Valore statistico di media deviata dei valori del numero di colpi sullo strato considerato.

Media + s

Media + scarto (valore statistico) dei valori del numero di colpi sullo strato considerato.

Media - s

Media - scarto (valore statistico) dei valori del numero di colpi sullo strato considerato.

Pressione ammissibile

Pressione ammissibile specifica sull'interstrato (con effetto di riduzione energia per svergolamento aste o no) calcolata secondo le note elaborazioni proposte da Herminier, applicando un coefficiente di sicurezza (generalmente = 20-22) che corrisponde ad un coefficiente di sicurezza standard delle fondazioni pari a 4, con una geometria fondale standard di larghezza pari a 1 mt. ed immersione $d = 1$ mt..

Correlazioni geotecniche terreni incoerenti

Liquefazione

Permette di calcolare utilizzando dati N_{spt} il potenziale di liquefazione dei suoli (prevalentemente sabbiosi).

Attraverso la relazione di *SHI-MING (1982)*, applicabile a terreni sabbiosi, la liquefazione risulta possibile solamente se N_{spt} dello strato considerato risulta inferiore a N_{spt} critico calcolato con l'elaborazione di *SHI-MING*.

Correzione N_{spt} in presenza di falda

$$N_{spt} \text{ corretto} = 15 + 0.5 \times (N_{spt} - 15)$$

N_{spt} è il valore medio nello strato

La correzione viene applicata in presenza di falda solo se il numero di colpi è maggiore di 15 (la correzione viene eseguita se tutto lo strato è in falda).

Angolo di Attrito

Peck-Hanson-Thornburn-Meyerhof 1956 - Correlazione valida per terreni non molli a prof. < 5 mt.; correlazione valida per sabbie e ghiaie rappresenta valori medi. - Correlazione storica molto usata, valevole per prof. < 5 mt. per terreni sopra falda e < 8 mt. per terreni in falda (tensioni < 8-10 t/mq)

Meyerhof 1956 - Correlazioni valide per terreni argillosi ed argillosi-marnosi fessurati, terreni di riporto sciolti e coltri detritiche (da modifica sperimentale di dati).

Sowers 1961)- Angolo di attrito in gradi valido per sabbie in genere (cond. ottimali per prof. < 4 mt. sopra falda e < 7 mt. per terreni in falda) $\sigma > 5$ t/mq.

De Mello - Correlazione valida per terreni prevalentemente sabbiosi e sabbioso-ghiaiosi (da modifica sperimentale di dati) con angolo di attrito < 38° .

Malcev 1964 - Angolo di attrito in gradi valido per sabbie in genere (cond. ottimali per prof. > 2 m. e per valori di angolo di attrito < 38°).

Schmertmann 1977- Angolo di attrito (gradi) per vari tipi litologici (valori massimi). N.B. valori spesso troppo ottimistici poiché desunti da correlazioni indirette da D_r %.

Shioi-Fukuni 1982 (ROAD BRIDGE SPECIFICATION) Angolo di attrito in gradi valido per sabbie - sabbie fini o limose e limi siltosi (cond. ottimali per prof. di prova > 8 mt. sopra falda e > 15 mt. per terreni in falda) $\sigma > 15$ t/mq.

Shioi-Fukuni 1982 (JAPANESE NATIONALE RAILWAY) Angolo di attrito valido per sabbie medie e grossolane fino a ghiaiose .

Angolo di attrito in gradi (Owasaki & Iwasaki) valido per sabbie - sabbie medie e grossolane-ghiaiose (cond. ottimali per prof. > 8 mt. sopra falda e > 15 mt. per terreni in falda) $s > 15$ t/mq.

Meyerhof 1965 - Correlazione valida per terreni per sabbie con % di limo < 5% a profondità < 5 mt. e con % di limo > 5% a profondità < 3 mt.

Mitchell e Katti (1965) - Correlazione valida per sabbie e ghiaie.

Densità relativa (%)

Gibbs & Holtz (1957) correlazione valida per qualunque pressione efficace, per ghiaie D_r viene sovrastimato, per limi sottostimato.

Skempton (1986) elaborazione valida per limi e sabbie e sabbie da fini a grossolane NC a qualunque pressione efficace, per ghiaie il valore di D_r % viene sovrastimato, per limi sottostimato.

Meyerhof (1957).

Schultze & Menzenbach (1961) per sabbie fini e ghiaiose NC , metodo valido per qualunque valore di pressione efficace in depositi NC, per ghiaie il valore di D_r % viene sovrastimato, per limi sottostimato.

Modulo Di Young (E_y)

Terzaghi - elaborazione valida per sabbia pulita e sabbia con ghiaia senza considerare la pressione efficace.

Schmertmann (1978), correlazione valida per vari tipi litologici .

Schultze-Menzenbach , correlazione valida per vari tipi litologici.

D'Appollonia ed altri (1970) , correlazione valida per sabbia, sabbia SC, sabbia NC e ghiaia

Bowles (1982), correlazione valida per sabbia argillosa, sabbia limosa, limo sabbioso, sabbia media, sabbia e ghiaia.

Modulo Edometrico

Begemann (1974) elaborazione desunta da esperienze in Grecia, correlazione valida per limo con sabbia, sabbia e ghiaia

Buisman-Sanglerat , correlazione valida per sabbia e sabbia argillosa.

Farrent (1963) valida per sabbie, talora anche per sabbie con ghiaia (da modifica sperimentale di dati).

Menzenbach e Malcev valida per sabbia fine, sabbia ghiaiosa e sabbia e ghiaia.

Stato di consistenza

Classificazione A.G.I. 1977

Peso di Volume Gamma

Meyerhof ed altri, valida per sabbie, ghiaie, limo, limo sabbioso.

Peso di volume saturo

Bowles 1982, Terzaghi-Peck 1948-1967. Correlazione valida per peso specifico del materiale pari a circa $\gamma = 2,65$ t/mc e per peso di volume secco variabile da 1,33 (Nspt = 0) a 1,99 (Nspt = 95)

Modulo di poisson

Classificazione A.G.I.

Potenziale di liquefazione (Stress Ratio)

Seed-Idriss 1978-1981 . Tale correlazione è valida solamente per sabbie, ghiaie e limi sabbiosi, rappresenta il rapporto tra lo sforzo dinamico medio τ e la tensione verticale di consolidazione per la valutazione del potenziale di liquefazione delle sabbie e terreni sabbio-ghiaiosi attraverso grafici degli autori.

Velocità onde di taglio V_s (m/sec)

Tale correlazione è valida solamente per terreni incoerenti sabbiosi e ghiaiosi.

Modulo di deformazione di taglio (G)

Ohsaki & Iwasaki – elaborazione valida per sabbie con fine plastico e sabbie pulite.

Robertson e Campanella (1983) e Imai & Tonouchi (1982) elaborazione valida soprattutto per sabbie e per tensioni litostatiche comprese tra 0,5 - 4,0 kg/cmq.

Modulo di reazione (K_0)

Navfac 1971-1982 - elaborazione valida per sabbie, ghiaie, limo, limo sabbioso .

Resistenza alla punta del Penetrometro Statico (Q_c)

Robertson 1983 Q_c

Correlazioni geotecniche terreni coesivi

Coesione non drenata

Benassi & Vannelli- correlazioni scaturite da esperienze ditta costruttrice Penetrometri SUNDA 1983.

Terzaghi-Peck (1948-1967), correlazione valida per argille sabbiose-siltose NC con Nspt <8 , argille limose-siltose mediamente plastiche, argille marnose alterate-fessurate.

Terzaghi-Peck (1948). C_u min-max.

Sanglerat , da dati Penetr. Statico per terreni coesivi saturi , tale correlazione non è valida per argille sensitive con sensitività > 5, per argille sovraconsolidate fessurate e per i limi a bassa plasticità.

Sanglerat , (per argille limose-sabbiose poco coerenti), valori validi per resistenze penetrometriche < 10 colpi, per resistenze penetrometriche > 10 l'elaborazione valida è comunque quella delle "argille plastiche " di Sanglerat.

(U.S.D.M.S.M.) U.S. Design Manual Soil Mechanics Coesione non drenata per argille limose e argille di bassa media ed alta plasticità , (C_u -Nspt-grado di plasticità).

Schmertmann 1975 C_u (Kg/cmq) (valori medi), valida per **argille e limi argillosi** con $N_c=20$ e $Q_c/Nspt=2$.

Schmertmann 1975 C_u (Kg/cmq) (valori minimi), valida per argille NC .

Fletcher 1965 - (Argilla di Chicago) . Coesione non drenata C_u (Kg/cmq), colonna valori validi per argille a medio-bassa plasticità .

Houston (1960) - argilla di media-alta plasticità.

Shioi-Fukuni 1982 , valida per suoli poco coerenti e plastici, argilla di media-alta plasticità.

Begemann.

De Beer.

Resistenza alla punta del Penetrometro Statico (Q_c)

Robertson 1983 Q_c

Modulo Edometrico-Confinato (M_o)

Stroud e Butler (1975) - per litotipi a media plasticità, valida per litotipi argillosi a media-medio-alta plasticità - da esperienze su argille glaciali.

Stroud e Butler (1975), per litotipi a medio-bassa plasticità ($IP < 20$), valida per litotipi argillosi a medio-bassa plasticità ($IP < 20$) - da esperienze su argille glaciali .

Vesic (1970) correlazione valida per argille molli (valori minimi e massimi).

Trofimenkov (1974), Mitchell e Gardner Modulo Confinato - M_o (Eed) (Kg/cmq)-, valida per litotipi argillosi e limosi-argillosi (rapporto $Q_c/N_{spt}=1.5-2.0$).

Buismann- Sanglerat, valida per argille compatte ($N_{spt} < 30$) medie e molli ($N_{spt} < 4$) e argille sabbiose ($N_{spt}=6-12$).

Modulo Di Young (E_y)

Schultze-Menzenbach - (Min. e Max.), correlazione valida per limi coerenti e limi argillosi con I.P. > 15

D'Appollonia ed altri (1983) - correlazione valida per argille sature-argille fessurate.

Stato di consistenza

Classificazione A.G.I. 1977

Peso di Volume Gamma

Meyerhof ed altri, valida per argille, argille sabbiose e limose prevalentemente coerenti.

Peso di volume saturo

Correlazione Bowles (1982), Terzaghi-Peck (1948-1967), valida per condizioni specifiche: peso specifico del materiale pari a circa $G=2,70$ (t/mc) e per indici dei vuoti variabili da 1,833 ($N_{spt}=0$) a 0,545 ($N_{spt}=28$)

PROVA ...P 1

Strumento utilizzato...
 Prova eseguita in data
 Profondità prova
 Falda non rilevata

DPM (DL030 10) (Medium)
 23/11/2016
 5.80 mt

Profondità (m)	Nr. Colpi	Nr. Colpi Rivestimento	Calcolo coeff. riduzione sonda Chi	Res. dinamica ridotta (Kg/cm ²)	Res. dinamica (Kg/cm ²)	Pres. ammissibile con riduzione Herminier - Olandesi (Kg/cm ²)	Pres. ammissibile Herminier - Olandesi (Kg/cm ²)
0.10	3	0	0.857	8.58	10.02	0.43	0.50
0.20	13	0	0.805	34.93	43.41	1.75	2.17
0.30	5	0	0.853	14.24	16.70	0.71	0.83
0.40	6	0	0.851	17.05	20.04	0.85	1.00
0.50	6	0	0.849	17.01	20.04	0.85	1.00
0.60	6	0	0.847	16.97	20.04	0.85	1.00
0.70	8	0	0.845	22.58	26.72	1.13	1.34
0.80	10	0	0.843	28.16	33.40	1.41	1.67
0.90	10	0	0.842	26.67	31.69	1.33	1.58
1.00	12	0	0.840	31.93	38.03	1.60	1.90
1.10	10	0	0.838	26.56	31.69	1.33	1.58
1.20	9	0	0.836	23.85	28.52	1.19	1.43
1.30	31	0	0.685	67.25	98.24	3.36	4.91
1.40	19	0	0.783	47.14	60.21	2.36	3.01
1.50	12	0	0.831	31.61	38.03	1.58	1.90
1.60	11	0	0.830	28.92	34.86	1.45	1.74
1.70	12	0	0.828	31.48	38.03	1.57	1.90
1.80	10	0	0.826	26.19	31.69	1.31	1.58
1.90	8	0	0.825	19.89	24.12	0.99	1.21
2.00	8	0	0.823	19.86	24.12	0.99	1.21
2.10	20	0	0.772	46.53	60.30	2.33	3.02
2.20	18	0	0.770	41.80	54.27	2.09	2.71
2.30	16	0	0.769	37.08	48.24	1.85	2.41
2.40	11	0	0.817	27.10	33.17	1.36	1.66
2.50	13	0	0.766	30.01	39.20	1.50	1.96
2.60	13	0	0.764	29.96	39.20	1.50	1.96
2.70	15	0	0.763	34.50	45.23	1.72	2.26
2.80	21	0	0.711	45.04	63.32	2.25	3.17
2.90	14	0	0.760	30.60	40.26	1.53	2.01
3.00	15	0	0.759	32.72	43.13	1.64	2.16
3.10	15	0	0.757	32.66	43.13	1.63	2.16
3.20	22	0	0.706	44.66	63.26	2.23	3.16
3.30	22	0	0.705	44.58	63.26	2.23	3.16
3.40	22	0	0.703	44.50	63.26	2.22	3.16
3.50	23	0	0.702	46.43	66.13	2.32	3.31
3.60	23	0	0.701	46.35	66.13	2.32	3.31
3.70	25	0	0.700	50.29	71.88	2.51	3.59
3.80	28	0	0.698	56.23	80.51	2.81	4.03
3.90	20	0	0.747	41.07	54.96	2.05	2.75
4.00	18	0	0.746	36.90	49.47	1.85	2.47
4.10	19	0	0.745	38.89	52.21	1.94	2.61
4.20	18	0	0.744	36.79	49.47	1.84	2.47
4.30	20	0	0.743	40.81	54.96	2.04	2.75
4.40	25	0	0.691	47.50	68.70	2.38	3.44
4.50	70	0	0.590	113.56	192.37	5.68	9.62
4.60	22	0	0.689	41.67	60.46	2.08	3.02
4.70	22	0	0.688	41.60	60.46	2.08	3.02
4.80	24	0	0.687	45.32	65.95	2.27	3.30
4.90	26	0	0.686	46.94	68.42	2.35	3.42

5.00	24	0	0.685	43.26	63.16	2.16	3.16
5.10	25	0	0.684	45.00	65.79	2.25	3.29
5.20	24	0	0.683	43.14	63.16	2.16	3.16
5.30	25	0	0.682	44.87	65.79	2.24	3.29
5.40	24	0	0.681	43.01	63.16	2.15	3.16
5.50	23	0	0.680	41.16	60.53	2.06	3.03
5.60	24	0	0.679	42.89	63.16	2.14	3.16
5.70	25	0	0.678	44.62	65.79	2.23	3.29
5.80	25	0	0.677	44.56	65.79	2.23	3.29

STIMA PARAMETRI GEOTECNICI PROVA P 1

TERRENI INCOERENTI

Densità relativa

	Nspt	Prof. Strato (m)	Nspt corretto per presenza falda	Correlazione	Densità relativa (%)
Strato 1	6.58	1.20	6.58	Gibbs & Holtz 1957	60.38
Strato 2	11.29	3.10	11.29	Gibbs & Holtz 1957	68.53
Strato 3	18.82	5.70	18.82	Gibbs & Holtz 1957	74.77

Angolo di resistenza al taglio

	Nspt	Prof. Strato (m)	Nspt corretto per presenza falda	Correlazione	Angolo d'attrito (°)
Strato 1	6.58	1.20	6.58	Meyerhof (1956)	21.88
Strato 2	11.29	3.10	11.29	Meyerhof (1956)	23.23
Strato 3	18.82	5.70	18.82	Meyerhof (1956)	25.38

Modulo di Young

	Nspt	Prof. Strato (m)	Nspt corretto per presenza falda	Correlazione	Modulo di Young (Kg/cm ²)
Strato 1	6.58	1.20	6.58	Bowles (1982) Sabbia Media	---
Strato 2	11.29	3.10	11.29	Bowles (1982) Sabbia Media	131.45
Strato 3	18.82	5.70	18.82	Bowles (1982) Sabbia Media	169.10

Modulo Edometrico

	Nspt	Prof. Strato (m)	Nspt corretto per presenza falda	Correlazione	Modulo Edometrico (Kg/cm ²)
Strato 1	6.58	1.20	6.58	Begemann 1974 (Ghiaia con sabbia)	40.98
Strato 2	11.29	3.10	11.29	Begemann 1974 (Ghiaia con sabbia)	50.65
Strato 3	18.82	5.70	18.82	Begemann 1974 (Ghiaia con sabbia)	66.12

Classificazione AGI

	Nspt	Prof. Strato (m)	Nspt corretto per presenza falda	Correlazione	Classificazione AGI
--	------	------------------	----------------------------------	--------------	---------------------

Strato 1	6.58	1.20	6.58	Classificazione A.G.I. 1977	POCO ADDENSATO
Strato 2	11.29	3.10	11.29	Classificazione A.G.I. 1977	MODERATAM ENTE ADDENSATO
Strato 3	18.82	5.70	18.82	Classificazione A.G.I. 1977	MODERATAM ENTE ADDENSATO

Peso unità di volume

	Nspt	Prof. Strato (m)	Nspt corretto per presenza falda	Correlazione	Gamma (t/m ³)
Strato 1	6.58	1.20	6.58	Meyerhof ed altri	1.60
Strato 2	11.29	3.10	11.29	Meyerhof ed altri	1.77
Strato 3	18.82	5.70	18.82	Meyerhof ed altri	1.97

Peso unità di volume saturo

	Nspt	Prof. Strato (m)	Nspt corretto per presenza falda	Correlazione	Gamma Saturo (t/m ³)
Strato 1	6.58	1.20	6.58	Terzaghi-Peck 1948-1967	1.90
Strato 2	11.29	3.10	11.29	Terzaghi-Peck 1948-1967	1.93
Strato 3	18.82	5.70	18.82	Terzaghi-Peck 1948-1967	1.97

Modulo di Poisson

	Nspt	Prof. Strato (m)	Nspt corretto per presenza falda	Correlazione	Poisson
Strato 1	6.58	1.20	6.58	(A.G.I.)	0.34
Strato 2	11.29	3.10	11.29	(A.G.I.)	0.33
Strato 3	18.82	5.70	18.82	(A.G.I.)	0.32

Modulo di deformazione a taglio

	Nspt	Prof. Strato (m)	Nspt corretto per presenza falda	Correlazione	G (Kg/cm ²)
Strato 1	6.58	1.20	6.58	Ohsaki (Sabbie pulite)	381.98
Strato 2	11.29	3.10	11.29	Ohsaki (Sabbie pulite)	634.52
Strato 3	18.82	5.70	18.82	Ohsaki (Sabbie pulite)	1025.78

Velocità onde

	Nspt	Prof. Strato (m)	Nspt corretto per presenza falda	Correlazione	Velocità onde m/s
Strato 1	6.58	1.20	6.58		141.08
Strato 2	11.29	3.10	11.29		184.8
Strato 3	18.82	5.70	18.82		238.6

Liquefazione

	Nspt	Prof. Strato (m)	Nspt corretto per presenza falda	Correlazione	Potenziale Liquefazione
Strato 1	6.58	1.20	6.58	Seed (1979) (Sabbie e ghiaie)	< 0.04
Strato 2	11.29	3.10	11.29	Seed (1979) (Sabbie e ghiaie)	< 0.04
Strato 3	18.82	5.70	18.82	Seed (1979) (Sabbie e ghiaie)	0.04-0.10

Modulo di reazione Ko

	Nspt	Prof. Strato (m)	Nspt corretto per presenza falda	Correlazione	Ko
Strato 1	6.58	1.20	6.58	Navfac 1971-1982	1.35
Strato 2	11.29	3.10	11.29	Navfac 1971-1982	2.38
Strato 3	18.82	5.70	18.82	Navfac 1971-1982	3.84

Qc (Resistenza punta Penetrometro Statico)

	Nspt	Prof. Strato (m)	Nspt corretto per presenza falda	Correlazione	Qc (Kg/cm ²)
Strato 1	6.58	1.20	6.58	Robertson 1983	13.16
Strato 2	11.29	3.10	11.29	Robertson 1983	22.58
Strato 3	18.82	5.70	18.82	Robertson 1983	37.64

PROVA ... P2

Strumento utilizzato... DPM (DL030 10) (Medium)
 Prova eseguita in data 23/11/2016
 Profondità prova 5.40 mt
 Falda non rilevata

Profondità (m)	Nr. Colpi	Nr. Colpi Rivestimento	Calcolo coeff. riduzione sonda Chi	Res. dinamica ridotta (Kg/cm ²)	Res. dinamica (Kg/cm ²)	Pres. ammissibile con riduzione Herminier - Olandesi (Kg/cm ²)	Pres. ammissibile Herminier - Olandesi (Kg/cm ²)
0.10	18	0	0.807	48.49	60.11	2.42	3.01
0.20	15	0	0.805	40.31	50.09	2.02	2.50
0.30	26	0	0.753	65.35	86.83	3.27	4.34
0.40	12	0	0.851	34.09	40.07	1.70	2.00
0.50	20	0	0.799	53.36	66.79	2.67	3.34
0.60	18	0	0.797	47.91	60.11	2.40	3.01
0.70	23	0	0.745	57.23	76.81	2.86	3.84
0.80	27	0	0.743	67.02	90.17	3.35	4.51
0.90	34	0	0.692	74.51	107.75	3.73	5.39
1.00	35	0	0.690	76.50	110.92	3.83	5.55
1.10	31	0	0.688	67.59	98.24	3.38	4.91
1.20	42	0	0.636	84.69	133.10	4.23	6.65
1.30	28	0	0.735	65.18	88.73	3.26	4.44
1.40	29	0	0.733	67.35	91.90	3.37	4.60
1.50	18	0	0.781	44.56	57.04	2.23	2.85
1.60	16	0	0.780	39.53	50.70	1.98	2.54
1.70	12	0	0.828	31.48	38.03	1.57	1.90
1.80	16	0	0.776	39.36	50.70	1.97	2.54
1.90	15	0	0.775	35.04	45.23	1.75	2.26
2.00	17	0	0.773	39.63	51.26	1.98	2.56
2.10	18	0	0.772	41.88	54.27	2.09	2.71
2.20	15	0	0.770	34.83	45.23	1.74	2.26
2.30	13	0	0.769	30.13	39.20	1.51	1.96
2.40	12	0	0.817	29.57	36.18	1.48	1.81
2.50	40	0	0.616	74.25	120.60	3.71	6.03
2.60	38	0	0.664	76.10	114.57	3.81	5.73

2.70	30	0	0.713	64.48	90.45	3.22	4.52
2.80	19	0	0.761	43.62	57.29	2.18	2.86
2.90	16	0	0.760	34.97	46.01	1.75	2.30
3.00	18	0	0.759	39.27	51.76	1.96	2.59
3.10	20	0	0.757	43.55	57.51	2.18	2.88
3.20	23	0	0.706	46.69	66.13	2.33	3.31
3.30	28	0	0.705	56.74	80.51	2.84	4.03
3.40	23	0	0.703	46.52	66.13	2.33	3.31
3.50	23	0	0.702	46.43	66.13	2.32	3.31
3.60	24	0	0.701	48.37	69.01	2.42	3.45
3.70	23	0	0.700	46.27	66.13	2.31	3.31
3.80	20	0	0.748	43.04	57.51	2.15	2.88
3.90	19	0	0.747	39.01	52.21	1.95	2.61
4.00	24	0	0.696	45.91	65.95	2.30	3.30
4.10	30	0	0.695	57.29	82.44	2.86	4.12
4.20	21	0	0.694	40.03	57.71	2.00	2.89
4.30	24	0	0.693	45.68	65.95	2.28	3.30
4.40	24	0	0.691	45.60	65.95	2.28	3.30
4.50	26	0	0.690	49.32	71.45	2.47	3.57
4.60	23	0	0.689	43.56	63.21	2.18	3.16
4.70	22	0	0.688	41.60	60.46	2.08	3.02
4.80	25	0	0.687	47.21	68.70	2.36	3.44
4.90	28	0	0.686	50.55	73.68	2.53	3.68
5.00	27	0	0.685	48.67	71.05	2.43	3.55
5.10	24	0	0.684	43.20	63.16	2.16	3.16
5.20	24	0	0.683	43.14	63.16	2.16	3.16
5.30	28	0	0.682	50.25	73.68	2.51	3.68
5.40	26	0	0.681	46.60	68.42	2.33	3.42

STIMA PARAMETRI GEOTECNICI PROVA P2

TERRENI INCOERENTI

Densità relativa

	Nspt	Prof. Strato (m)	Nspt corretto per presenza falda	Correlazione	Densità relativa (%)
Strato 1	19.46	1.40	19.46	Gibbs & Holtz 1957	100
Strato 2	15.05	3.20	15.05	Gibbs & Holtz 1957	76.09
Strato 3	18.54	5.40	18.54	Gibbs & Holtz 1957	73.07

Angolo di resistenza al taglio

	Nspt	Prof. Strato (m)	Nspt corretto per presenza falda	Correlazione	Angolo d'attrito (°)
Strato 1	19.46	1.40	19.46	Meyerhof (1956)	25.56
Strato 2	15.05	3.20	15.05	Meyerhof (1956)	24.3
Strato 3	18.54	5.40	18.54	Meyerhof (1956)	25.3

Modulo di Young

	Nspt	Prof. Strato (m)	Nspt corretto per presenza falda	Correlazione	Modulo di Young (Kg/cm ²)
Strato 1	19.46	1.40	19.46	Bowles (1982) Sabbia Media	172.30
Strato 2	15.05	3.20	15.05	Bowles (1982) Sabbia Media	150.25

Strato 3	18.54	5.40	18.54	Bowles (1982) Sabbia Media	167.70
----------	-------	------	-------	-------------------------------	--------

Modulo Edometrico

	Nspt	Prof. Strato (m)	Nspt corretto per presenza falda	Correlazione	Modulo Edometrico (Kg/cm ²)
Strato 1	19.46	1.40	19.46	Begemann 1974 (Ghiaia con sabbia)	67.44
Strato 2	15.05	3.20	15.05	Begemann 1974 (Ghiaia con sabbia)	58.38
Strato 3	18.54	5.40	18.54	Begemann 1974 (Ghiaia con sabbia)	65.55

Classificazione AGI

	Nspt	Prof. Strato (m)	Nspt corretto per presenza falda	Correlazione	Classificazione AGI
Strato 1	19.46	1.40	19.46	Classificazione A.G.I. 1977	MODERATAM ENTE ADDENSATO
Strato 2	15.05	3.20	15.05	Classificazione A.G.I. 1977	MODERATAM ENTE ADDENSATO
Strato 3	18.54	5.40	18.54	Classificazione A.G.I. 1977	MODERATAM ENTE ADDENSATO

Peso unità di volume

	Nspt	Prof. Strato (m)	Nspt corretto per presenza falda	Correlazione	Gamma (t/m ³)
Strato 1	19.46	1.40	19.46	Meyerhof ed altri	1.98
Strato 2	15.05	3.20	15.05	Meyerhof ed altri	1.88
Strato 3	18.54	5.40	18.54	Meyerhof ed altri	1.96

Peso unità di volume saturo

	Nspt	Prof. Strato (m)	Nspt corretto per presenza falda	Correlazione	Gamma Saturo (t/m ³)
Strato 1	19.46	1.40	19.46	Terzaghi-Peck 1948-1967	---
Strato 2	15.05	3.20	15.05	Terzaghi-Peck 1948-1967	1.95
Strato 3	18.54	5.40	18.54	Terzaghi-Peck 1948-1967	1.97

Modulo di Poisson

	Nspt	Prof. Strato (m)	Nspt corretto per presenza falda	Correlazione	Poisson
Strato 1	19.46	1.40	19.46	(A.G.I.)	0.32
Strato 2	15.05	3.20	15.05	(A.G.I.)	0.32
Strato 3	18.54	5.40	18.54	(A.G.I.)	0.32

Modulo di deformazione a taglio

	Nspt	Prof. Strato (m)	Nspt corretto per presenza falda	Correlazione	G (Kg/cm ²)
Strato 1	19.46	1.40	19.46	Ohsaki (Sabbie pulite)	1058.54
Strato 2	15.05	3.20	15.05	Ohsaki (Sabbie pulite)	831.38

Strato 3	18.54	5.40	18.54	Ohsaki (Sabbie pulite)	1011.43
----------	-------	------	-------	------------------------	---------

Velocità onde

	Nspt	Prof. Strato (m)	Nspt corretto per presenza falda	Correlazione	Velocità onde m/s
Strato 1	19.46	1.40	19.46		242.62
Strato 2	15.05	3.20	15.05		213.37
Strato 3	18.54	5.40	18.54		236.82

Liquefazione

	Nspt	Prof. Strato (m)	Nspt corretto per presenza falda	Correlazione	Potenziale Liquefazione
Strato 1	19.46	1.40	19.46	Seed (1979) (Sabbie e ghiaie)	0.04-0.10
Strato 2	15.05	3.20	15.05	Seed (1979) (Sabbie e ghiaie)	0.04-0.10
Strato 3	18.54	5.40	18.54	Seed (1979) (Sabbie e ghiaie)	0.04-0.10

Modulo di reazione Ko

	Nspt	Prof. Strato (m)	Nspt corretto per presenza falda	Correlazione	Ko
Strato 1	19.46	1.40	19.46	Navfac 1971-1982	3.95
Strato 2	15.05	3.20	15.05	Navfac 1971-1982	3.13
Strato 3	18.54	5.40	18.54	Navfac 1971-1982	3.79

Qc (Resistenza punta Penetrometro Statico)

	Nspt	Prof. Strato (m)	Nspt corretto per presenza falda	Correlazione	Qc (Kg/cm ²)
Strato 1	19.46	1.40	19.46	Robertson 1983	38.92
Strato 2	15.05	3.20	15.05	Robertson 1983	30.10
Strato 3	18.54	5.40	18.54	Robertson 1983	37.08

PROVA ... P3

Strumento utilizzato... DPM (DL030 10) (Medium)
 Prova eseguita in data 23/11/2016
 Profondità prova 6.40 mt
 Falda non rilevata

Profondità (m)	Nr. Colpi	Nr. Colpi Rivestimento	Calcolo coeff. riduzione sonda Chi	Res. dinamica ridotta (Kg/cm ²)	Res. dinamica (Kg/cm ²)	Pres. ammissibile con riduzione Herminier - Olandesi (Kg/cm ²)	Pres. ammissibile Herminier - Olandesi (Kg/cm ²)
0.10	3	0	0.857	8.58	10.02	0.43	0.50
0.20	5	0	0.855	14.27	16.70	0.71	0.83
0.30	6	0	0.853	17.09	20.04	0.85	1.00
0.40	10	0	0.851	28.41	33.40	1.42	1.67
0.50	12	0	0.849	34.02	40.07	1.70	2.00
0.60	15	0	0.797	39.92	50.09	2.00	2.50
0.70	25	0	0.745	62.21	83.49	3.11	4.17

0.80	22	0	0.743	54.61	73.47	2.73	3.67
0.90	24	0	0.742	56.40	76.06	2.82	3.80
1.00	10	0	0.840	26.61	31.69	1.33	1.58
1.10	9	0	0.838	23.90	28.52	1.20	1.43
1.20	11	0	0.836	29.15	34.86	1.46	1.74
1.30	15	0	0.785	37.29	47.54	1.86	2.38
1.40	18	0	0.783	44.66	57.04	2.23	2.85
1.50	14	0	0.781	34.66	44.37	1.73	2.22
1.60	15	0	0.780	37.06	47.54	1.85	2.38
1.70	28	0	0.728	64.59	88.73	3.23	4.44
1.80	19	0	0.776	46.74	60.21	2.34	3.01
1.90	22	0	0.725	48.07	66.33	2.40	3.32
2.00	25	0	0.723	54.51	75.38	2.73	3.77
2.10	35	0	0.672	70.88	105.53	3.54	5.28
2.20	42	0	0.620	78.53	126.63	3.93	6.33
2.30	51	0	0.619	95.13	153.77	4.76	7.69
2.40	47	0	0.617	87.45	141.71	4.37	7.09
2.50	23	0	0.716	49.63	69.35	2.48	3.47
2.60	24	0	0.714	51.68	72.36	2.58	3.62
2.70	22	0	0.713	47.28	66.33	2.36	3.32
2.80	24	0	0.711	51.48	72.36	2.57	3.62
2.90	20	0	0.760	43.71	57.51	2.19	2.88
3.00	18	0	0.759	39.27	51.76	1.96	2.59
3.10	19	0	0.757	41.37	54.63	2.07	2.73
3.20	22	0	0.706	44.66	63.26	2.23	3.16
3.30	21	0	0.705	42.55	60.38	2.13	3.02
3.40	25	0	0.703	50.56	71.88	2.53	3.59
3.50	22	0	0.702	44.42	63.26	2.22	3.16
3.60	25	0	0.701	50.38	71.88	2.52	3.59
3.70	26	0	0.700	52.30	74.76	2.62	3.74
3.80	22	0	0.698	44.18	63.26	2.21	3.16
3.90	21	0	0.697	40.24	57.71	2.01	2.89
4.00	24	0	0.696	45.91	65.95	2.30	3.30
4.10	55	0	0.595	89.91	151.15	4.50	7.56
4.20	48	0	0.594	78.31	131.91	3.92	6.60
4.30	55	0	0.593	89.56	151.15	4.48	7.56
4.40	65	0	0.591	105.65	178.63	5.28	8.93
4.50	21	0	0.690	39.84	57.71	1.99	2.89
4.60	23	0	0.689	43.56	63.21	2.18	3.16
4.70	24	0	0.688	45.39	65.95	2.27	3.30
4.80	21	0	0.687	39.65	57.71	1.98	2.89
4.90	23	0	0.686	41.52	60.53	2.08	3.03
5.00	25	0	0.685	45.07	65.79	2.25	3.29
5.10	24	0	0.684	43.20	63.16	2.16	3.16
5.20	28	0	0.683	50.33	73.68	2.52	3.68
5.30	27	0	0.682	48.46	71.05	2.42	3.55
5.40	29	0	0.681	51.97	76.32	2.60	3.82
5.50	26	0	0.680	46.53	68.42	2.33	3.42
5.60	28	0	0.679	50.04	73.68	2.50	3.68
5.70	27	0	0.678	48.19	71.05	2.41	3.55
5.80	24	0	0.677	42.78	63.16	2.14	3.16
5.90	29	0	0.676	49.52	73.21	2.48	3.66
6.00	30	0	0.675	51.16	75.74	2.56	3.79
6.10	31	0	0.625	48.88	78.26	2.44	3.91
6.20	31	0	0.624	48.81	78.26	2.44	3.91
6.30	30	0	0.673	50.96	75.74	2.55	3.79
6.40	32	0	0.622	50.25	80.79	2.51	4.04

STIMA PARAMETRI GEOTECNICI PROVA P3**TERRENI INCOERENTI****Densità relativa**

	Nspt	Prof. Strato (m)	Nspt corretto per presenza falda	Correlazione	Densità relativa (%)
Strato 1	6.47	0.60	6.47	Gibbs & Holtz 1957	61.76
Strato 2	18.01	0.90	18.01	Gibbs & Holtz 1957	98.1
Strato 3	12.87	2.00	12.87	Gibbs & Holtz 1957	77.11
Strato 4	33.29	2.40	33.29	Gibbs & Holtz 1957	100
Strato 5	17.03	4.10	17.03	Gibbs & Holtz 1957	76.14
Strato 6	42.43	4.40	42.43	Gibbs & Holtz 1957	100
Strato 7	20.28	6.40	20.28	Gibbs & Holtz 1957	71.73

Angolo di resistenza al taglio

	Nspt	Prof. Strato (m)	Nspt corretto per presenza falda	Correlazione	Angolo d'attrito (°)
Strato 1	6.47	0.60	6.47	Meyerhof (1956)	21.85
Strato 2	18.01	0.90	18.01	Meyerhof (1956)	25.15
Strato 3	12.87	2.00	12.87	Meyerhof (1956)	23.68
Strato 4	33.29	2.40	33.29	Meyerhof (1956)	29.51
Strato 5	17.03	4.00	17.03	Meyerhof (1956)	24.87
Strato 6	42.43	4.40	42.43	Meyerhof (1956)	32.12
Strato 7	20.28	6.40	20.28	Meyerhof (1956)	25.79

Modulo di Young

	Nspt	Prof. Strato (m)	Nspt corretto per presenza falda	Correlazione	Modulo di Young (Kg/cm ²)
Strato 1	6.47	0.60	6.47	Bowles (1982) Sabbia Media	---
Strato 2	18.01	0.90	18.01	Bowles (1982) Sabbia Media	165.05
Strato 3	12.87	2.00	12.87	Bowles (1982) Sabbia Media	139.35
Strato 4	33.29	2.40	33.29	Bowles (1982) Sabbia Media	241.45
Strato 5	17.03	4.00	17.03	Bowles (1982) Sabbia Media	160.15
Strato 6	42.43	4.40	42.43	Bowles (1982) Sabbia Media	287.15
Strato 7	20.28	6.40	20.28	Bowles (1982) Sabbia Media	176.40

Modulo Edometrico

	Nspt	Prof. Strato (m)	Nspt corretto per presenza falda	Correlazione	Modulo Edometrico (Kg/cm ²)
Strato 1	6.47	0.60	6.47	Begemann 1974 (Ghiaia con sabbia)	40.75

Strato 2	18.01	0.90	18.01	Begemann 1974 (Ghiaia con sabbia)	64.46
Strato 3	12.87	2.00	12.87	Begemann 1974 (Ghiaia con sabbia)	53.90
Strato 4	33.29	2.40	33.29	Begemann 1974 (Ghiaia con sabbia)	95.84
Strato 5	17.03	4.00	17.03	Begemann 1974 (Ghiaia con sabbia)	62.44
Strato 6	42.43	4.40	42.43	Begemann 1974 (Ghiaia con sabbia)	114.62
Strato 7	20.28	6.40	20.28	Begemann 1974 (Ghiaia con sabbia)	69.12

Classificazione AGI

	Nspt	Prof. Strato (m)	Nspt corretto per presenza falda	Correlazione	Classificazione AGI
Strato 1	6.47	0.60	6.47	Classificazione A.G.I. 1977	POCO ADDENSATO
Strato 2	18.01	0.90	18.01	Classificazione A.G.I. 1977	MODERATAM ENTE ADDENSATO
Strato 3	12.87	2.00	12.87	Classificazione A.G.I. 1977	MODERATAM ENTE ADDENSATO
Strato 4	33.29	2.40	33.29	Classificazione A.G.I. 1977	ADDENSATO
Strato 5	17.03	4.00	17.03	Classificazione A.G.I. 1977	MODERATAM ENTE ADDENSATO
Strato 6	42.43	4.40	42.43	Classificazione A.G.I. 1977	ADDENSATO
Strato 7	20.28	6.40	20.28	Classificazione A.G.I. 1977	MODERATAM ENTE ADDENSATO

Peso unità di volume

	Nspt	Prof. Strato (m)	Nspt corretto per presenza falda	Correlazione	Gamma (t/m ³)
Strato 1	6.47	0.60	6.47	Meyerhof ed altri	1.60
Strato 2	18.01	0.90	18.01	Meyerhof ed altri	1.95
Strato 3	12.87	2.00	12.87	Meyerhof ed altri	1.82
Strato 4	33.29	2.40	33.29	Meyerhof ed altri	2.16
Strato 5	17.03	4.00	17.03	Meyerhof ed altri	1.93
Strato 6	42.43	4.40	42.43	Meyerhof ed altri	2.21
Strato 7	20.28	6.40	20.28	Meyerhof ed altri	2.00

Peso unità di volume saturo

	Nspt	Prof. Strato (m)	Nspt corretto per presenza falda	Correlazione	Gamma Saturo (t/m ³)
Strato 1	6.47	0.60	6.47	Terzaghi-Peck 1948-1967	1.90
Strato 2	18.01	0.90	18.01	Terzaghi-Peck 1948-1967	1.97
Strato 3	12.87	2.00	12.87	Terzaghi-Peck 1948-1967	1.94

Strato 4	33.29	2.40	33.29	Terzaghi-Peck 1948-1967	---
Strato 5	17.03	4.00	17.03	Terzaghi-Peck 1948-1967	1.96
Strato 6	42.43	4.40	42.43	Terzaghi-Peck 1948-1967	---
Strato 7	20.28	6.40	20.28	Terzaghi-Peck 1948-1967	---

Modulo di Poisson

	Nspt	Prof. Strato (m)	Nspt corretto per presenza falda	Correlazione	Poisson
Strato 1	6.47	0.60	6.47	(A.G.I.)	0.34
Strato 2	18.01	0.90	18.01	(A.G.I.)	0.32
Strato 3	12.87	2.00	12.87	(A.G.I.)	0.33
Strato 4	33.29	2.40	33.29	(A.G.I.)	0.29
Strato 5	17.03	4.00	17.03	(A.G.I.)	0.32
Strato 6	42.43	4.40	42.43	(A.G.I.)	0.27
Strato 7	20.28	6.40	20.28	(A.G.I.)	0.31

Modulo di deformazione a taglio

	Nspt	Prof. Strato (m)	Nspt corretto per presenza falda	Correlazione	G (Kg/cm ²)
Strato 1	6.47	0.60	6.47	Ohsaki (Sabbie pulite)	375.98
Strato 2	18.01	0.90	18.01	Ohsaki (Sabbie pulite)	984.23
Strato 3	12.87	2.00	12.87	Ohsaki (Sabbie pulite)	717.66
Strato 4	33.29	2.40	33.29	Ohsaki (Sabbie pulite)	1753.43
Strato 5	17.03	4.00	17.03	Ohsaki (Sabbie pulite)	933.80
Strato 6	42.43	4.40	42.43	Ohsaki (Sabbie pulite)	2202.55
Strato 7	20.28	6.40	20.28	Ohsaki (Sabbie pulite)	1100.42

Velocità onde

	Nspt	Prof. Strato (m)	Nspt corretto per presenza falda	Correlazione	Velocità onde m/s
Strato 1	6.47	0.60	6.47		139.9
Strato 2	18.01	0.90	18.01		233.41
Strato 3	12.87	2.00	12.87		197.31
Strato 4	33.29	2.40	33.29		317.34
Strato 5	17.03	4.00	17.03		226.97
Strato 6	42.43	4.40	42.43		358.26
Strato 7	20.28	6.40	20.28		247.68

Liquefazione

	Nspt	Prof. Strato (m)	Nspt corretto per presenza falda	Correlazione	Potenziale Liquefazione
Strato 1	6.47	0.60	6.47	Seed (1979) (Sabbie e ghiaie)	< 0.04
Strato 2	18.01	0.90	18.01	Seed (1979) (Sabbie e ghiaie)	0.04-0.10
Strato 3	12.87	2.00	12.87	Seed (1979) (Sabbie e ghiaie)	0.04-0.10
Strato 4	33.29	2.40	33.29	Seed (1979) (Sabbie e ghiaie)	0.10-0.35

Strato 5	17.03	4.00	17.03	Seed (1979) (Sabbie e ghiaie)	0.04-0.10
Strato 6	42.43	4.40	42.43	Seed (1979) (Sabbie e ghiaie)	> 0.35
Strato 7	20.28	6.40	20.28	Seed (1979) (Sabbie e ghiaie)	0.04-0.10

Modulo di reazione Ko

	Nspt	Prof. Strato (m)	Nspt corretto per presenza falda	Correlazione	Ko
Strato 1	6.47	0.60	6.47	Navfac 1971-1982	1.33
Strato 2	18.01	0.90	18.01	Navfac 1971-1982	3.69
Strato 3	12.87	2.00	12.87	Navfac 1971-1982	2.70
Strato 4	33.29	2.40	33.29	Navfac 1971-1982	6.05
Strato 5	17.03	4.00	17.03	Navfac 1971-1982	3.51
Strato 6	42.43	4.40	42.43	Navfac 1971-1982	7.19
Strato 7	20.28	6.40	20.28	Navfac 1971-1982	4.10

Qc (Resistenza punta Penetrometro Statico)

	Nspt	Prof. Strato (m)	Nspt corretto per presenza falda	Correlazione	Qc (Kg/cm ²)
Strato 1	6.47	0.60	6.47	Robertson 1983	12.94
Strato 2	18.01	0.90	18.01	Robertson 1983	36.02
Strato 3	12.87	2.00	12.87	Robertson 1983	25.74
Strato 4	33.29	2.40	33.29	Robertson 1983	66.58
Strato 5	17.03	4.00	17.03	Robertson 1983	34.06
Strato 6	42.43	4.40	42.43	Robertson 1983	84.86
Strato 7	20.28	6.40	20.28	Robertson 1983	40.56

PROVA ...P4

Strumento utilizzato... DPM (DL030 10) (Medium)
 Prova eseguita in data 23/11/2016
 Profondità prova 6.00 mt
 Falda non rilevata

Profondità (m)	Nr. Colpi	Nr. Colpi Rivestiment o	Calcolo coeff. riduzione sonda Chi	Res. dinamica ridotta (Kg/cm ²)	Res. dinamica (Kg/cm ²)	Pres. ammissibile con riduzione Herminier - Olandesi (Kg/cm ²)	Pres. ammissibile Herminier - Olandesi (Kg/cm ²)
0.10	3	0	0.857	8.58	10.02	0.43	0.50
0.20	5	0	0.855	14.27	16.70	0.71	0.83
0.30	6	0	0.853	17.09	20.04	0.85	1.00
0.40	28	0	0.751	70.20	93.51	3.51	4.68
0.50	35	0	0.699	81.69	116.88	4.08	5.84
0.60	28	0	0.747	69.85	93.51	3.49	4.68
0.70	45	0	0.645	96.95	150.28	4.85	7.51

0.80	40	0	0.643	85.94	133.58	4.30	6.68
0.90	48	0	0.642	97.59	152.11	4.88	7.61
1.00	18	0	0.790	45.05	57.04	2.25	2.85
1.10	17	0	0.788	42.45	53.87	2.12	2.69
1.20	20	0	0.786	49.83	63.38	2.49	3.17
1.30	35	0	0.685	75.93	110.92	3.80	5.55
1.40	34	0	0.683	73.58	107.75	3.68	5.39
1.50	33	0	0.681	71.24	104.58	3.56	5.23
1.60	38	0	0.680	81.83	120.42	4.09	6.02
1.70	45	0	0.628	89.55	142.61	4.48	7.13
1.80	48	0	0.626	95.27	152.11	4.76	7.61
1.90	49	0	0.625	92.30	147.74	4.61	7.39
2.00	55	0	0.623	103.34	165.83	5.17	8.29
2.10	85	0	0.622	159.32	256.28	7.97	12.81
2.20	78	0	0.620	145.84	235.18	7.29	11.76
2.30	55	0	0.619	102.59	165.83	5.13	8.29
2.40	18	0	0.767	41.63	54.27	2.08	2.71
2.50	19	0	0.766	43.86	57.29	2.19	2.86
2.60	22	0	0.714	47.38	66.33	2.37	3.32
2.70	23	0	0.713	49.43	69.35	2.47	3.47
2.80	24	0	0.711	51.48	72.36	2.57	3.62
2.90	55	0	0.610	96.48	158.15	4.82	7.91
3.00	48	0	0.609	84.01	138.02	4.20	6.90
3.10	52	0	0.607	90.81	149.52	4.54	7.48
3.20	62	0	0.606	108.03	178.27	5.40	8.91
3.30	78	0	0.605	135.62	224.28	6.78	11.21
3.40	18	0	0.753	38.99	51.76	1.95	2.59
3.50	21	0	0.702	42.40	60.38	2.12	3.02
3.60	24	0	0.701	48.37	69.01	2.42	3.45
3.70	28	0	0.700	56.33	80.51	2.82	4.03
3.80	29	0	0.698	58.24	83.39	2.91	4.17
3.90	21	0	0.697	40.24	57.71	2.01	2.89
4.00	19	0	0.746	38.95	52.21	1.95	2.61
4.10	17	0	0.745	34.80	46.72	1.74	2.34
4.20	21	0	0.694	40.03	57.71	2.00	2.89
4.30	22	0	0.693	41.87	60.46	2.09	3.02
4.40	23	0	0.691	43.70	63.21	2.19	3.16
4.50	24	0	0.690	45.53	65.95	2.28	3.30
4.60	28	0	0.689	53.03	76.95	2.65	3.85
4.70	24	0	0.688	45.39	65.95	2.27	3.30
4.80	27	0	0.687	50.98	74.20	2.55	3.71
4.90	26	0	0.686	46.94	68.42	2.35	3.42
5.00	24	0	0.685	43.26	63.16	2.16	3.16
5.10	26	0	0.684	46.80	68.42	2.34	3.42
5.20	27	0	0.683	48.53	71.05	2.43	3.55
5.30	25	0	0.682	44.87	65.79	2.24	3.29
5.40	24	0	0.681	43.01	63.16	2.15	3.16
5.50	26	0	0.680	46.53	68.42	2.33	3.42
5.60	24	0	0.679	42.89	63.16	2.14	3.16
5.70	28	0	0.678	49.97	73.68	2.50	3.68
5.80	24	0	0.677	42.78	63.16	2.14	3.16
5.90	27	0	0.676	46.10	68.16	2.31	3.41
6.00	24	0	0.675	40.93	60.59	2.05	3.03

STIMA PARAMETRI GEOTECNICI PROVA P4

TERRENI INCOERENTI**Densità relativa**

	Nspt	Prof. Strato (m)	Nspt corretto per presenza falda	Correlazione	Densità relativa (%)
Strato 1	15.52	0.60	15.52	Gibbs & Holtz 1957	95.1
Strato 2	33.74	0.90	33.74	Gibbs & Holtz 1957	100
Strato 3	21.2	1.60	21.2	Gibbs & Holtz 1957	100
Strato 4	45.12	2.30	45.12	Gibbs & Holtz 1957	100
Strato 5	20.42	2.90	20.42	Gibbs & Holtz 1957	94.2
Strato 6	45.66	3.30	45.66	Gibbs & Holtz 1957	100
Strato 7	18.35	6.00	18.35	Gibbs & Holtz 1957	77.73

Angolo di resistenza al taglio

	Nspt	Prof. Strato (m)	Nspt corretto per presenza falda	Correlazione	Angolo d'attrito (°)
Strato 1	15.52	0.60	15.52	Meyerhof (1956)	24.43
Strato 2	33.74	0.90	33.74	Meyerhof (1956)	29.64
Strato 3	21.2	1.60	21.2	Meyerhof (1956)	26.06
Strato 4	45.12	2.30	45.12	Meyerhof (1956)	32.89
Strato 5	20.42	2.90	20.42	Meyerhof (1956)	25.83
Strato 6	45.66	3.30	45.66	Meyerhof (1956)	33.05
Strato 7	18.35	6.00	18.35	Meyerhof (1956)	25.24

Modulo di Young

	Nspt	Prof. Strato (m)	Nspt corretto per presenza falda	Correlazione	Modulo di Young (Kg/cm ²)
Strato 1	15.52	0.60	15.52	Bowles (1982) Sabbia Media	152.60
Strato 2	33.74	0.90	33.74	Bowles (1982) Sabbia Media	243.70
Strato 3	21.2	1.60	21.2	Bowles (1982) Sabbia Media	181.00
Strato 4	45.12	2.30	45.12	Bowles (1982) Sabbia Media	300.60
Strato 5	20.42	2.90	20.42	Bowles (1982) Sabbia Media	177.10
Strato 6	45.66	3.30	45.66	Bowles (1982) Sabbia Media	303.30
Strato 7	18.35	6.00	18.35	Bowles (1982) Sabbia Media	166.75

Modulo Edometrico

	Nspt	Prof. Strato (m)	Nspt corretto per presenza falda	Correlazione	Modulo Edometrico (Kg/cm ²)
Strato 1	15.52	0.60	15.52	Begemann 1974 (Ghiaia con sabbia)	59.34
Strato 2	33.74	0.90	33.74	Begemann 1974 (Ghiaia con sabbia)	96.77

Strato 3	21.2	1.60	21.2	Begemann 1974 (Ghiaia con sabbia)	71.01
Strato 4	45.12	2.30	45.12	Begemann 1974 (Ghiaia con sabbia)	120.14
Strato 5	20.42	2.90	20.42	Begemann 1974 (Ghiaia con sabbia)	69.41
Strato 6	45.66	3.30	45.66	Begemann 1974 (Ghiaia con sabbia)	121.25
Strato 7	18.35	6.00	18.35	Begemann 1974 (Ghiaia con sabbia)	65.16

Classificazione AGI

	Nspt	Prof. Strato (m)	Nspt corretto per presenza falda	Correlazione	Classificazione AGI
Strato 1	15.52	0.60	15.52	Classificazione A.G.I. 1977	MODERATAM ENTE ADDENSATO
Strato 2	33.74	0.90	33.74	Classificazione A.G.I. 1977	ADDENSATO
Strato 3	21.2	1.60	21.2	Classificazione A.G.I. 1977	MODERATAM ENTE ADDENSATO
Strato 4	45.12	2.30	45.12	Classificazione A.G.I. 1977	ADDENSATO
Strato 5	20.42	2.90	20.42	Classificazione A.G.I. 1977	MODERATAM ENTE ADDENSATO
Strato 6	45.66	3.30	45.66	Classificazione A.G.I. 1977	ADDENSATO
Strato 7	18.35	6.00	18.35	Classificazione A.G.I. 1977	MODERATAM ENTE ADDENSATO

Peso unità di volume

	Nspt	Prof. Strato (m)	Nspt corretto per presenza falda	Correlazione	Gamma (t/m ³)
Strato 1	15.52	0.60	15.52	Meyerhof ed altri	1.89
Strato 2	33.74	0.90	33.74	Meyerhof ed altri	2.17
Strato 3	21.2	1.60	21.2	Meyerhof ed altri	2.02
Strato 4	45.12	2.30	45.12	Meyerhof ed altri	2.22
Strato 5	20.42	2.90	20.42	Meyerhof ed altri	2.00
Strato 6	45.66	3.30	45.66	Meyerhof ed altri	2.22
Strato 7	18.35	6.00	18.35	Meyerhof ed altri	1.96

Peso unità di volume saturo

	Nspt	Prof. Strato (m)	Nspt corretto per presenza falda	Correlazione	Gamma Saturo (t/m ³)
Strato 1	15.52	0.60	15.52	Terzaghi-Peck 1948-1967	1.95
Strato 2	33.74	0.90	33.74	Terzaghi-Peck 1948-1967	---
Strato 3	21.2	1.60	21.2	Terzaghi-Peck 1948-1967	---
Strato 4	45.12	2.30	45.12	Terzaghi-Peck 1948-1967	---

Strato 5	20.42	2.90	20.42	Terzaghi-Peck 1948-1967	---
Strato 6	45.66	3.30	45.66	Terzaghi-Peck 1948-1967	---
Strato 7	18.35	6.00	18.35	Terzaghi-Peck 1948-1967	1.97

Modulo di Poisson

	Nspt	Prof. Strato (m)	Nspt corretto per presenza falda	Correlazione	Poisson
Strato 1	15.52	0.60	15.52	(A.G.I.)	0.32
Strato 2	33.74	0.90	33.74	(A.G.I.)	0.29
Strato 3	21.2	1.60	21.2	(A.G.I.)	0.31
Strato 4	45.12	2.30	45.12	(A.G.I.)	0.26
Strato 5	20.42	2.90	20.42	(A.G.I.)	0.31
Strato 6	45.66	3.30	45.66	(A.G.I.)	0.26
Strato 7	18.35	6.00	18.35	(A.G.I.)	0.32

Modulo di deformazione a taglio

	Nspt	Prof. Strato (m)	Nspt corretto per presenza falda	Correlazione	G (Kg/cm ²)
Strato 1	15.52	0.60	15.52	Ohsaki (Sabbie pulite)	855.76
Strato 2	33.74	0.90	33.74	Ohsaki (Sabbie pulite)	1775.70
Strato 3	21.2	1.60	21.2	Ohsaki (Sabbie pulite)	1147.28
Strato 4	45.12	2.30	45.12	Ohsaki (Sabbie pulite)	2333.57
Strato 5	20.42	2.90	20.42	Ohsaki (Sabbie pulite)	1107.56
Strato 6	45.66	3.30	45.66	Ohsaki (Sabbie pulite)	2359.81
Strato 7	18.35	6.00	18.35	Ohsaki (Sabbie pulite)	1001.69

Velocità onde

	Nspt	Prof. Strato (m)	Nspt corretto per presenza falda	Correlazione	Velocità onde m/s
Strato 1	15.52	0.60	15.52		216.67
Strato 2	33.74	0.90	33.74		319.47
Strato 3	21.2	1.60	21.2		253.24
Strato 4	45.12	2.30	45.12		369.44
Strato 5	20.42	2.90	20.42		248.54
Strato 6	45.66	3.30	45.66		371.65
Strato 7	18.35	6.00	18.35		235.6

Liquefazione

	Nspt	Prof. Strato (m)	Nspt corretto per presenza falda	Correlazione	Potenziale Liquefazione
Strato 1	15.52	0.60	15.52	Seed (1979) (Sabbie e ghiaie)	0.04-0.10
Strato 2	33.74	0.90	33.74	Seed (1979) (Sabbie e ghiaie)	0.10-0.35
Strato 3	21.2	1.60	21.2	Seed (1979) (Sabbie e ghiaie)	0.04-0.10
Strato 4	45.12	2.30	45.12	Seed (1979) (Sabbie e ghiaie)	> 0.35
Strato 5	20.42	2.90	20.42	Seed (1979) (Sabbie e ghiaie)	0.04-0.10

Strato 6	45.66	3.30	45.66	Seed (1979) (Sabbie e ghiaie)	> 0.35
Strato 7	18.35	6.00	18.35	Seed (1979) (Sabbie e ghiaie)	0.04-0.10

Modulo di reazione Ko

	Nspt	Prof. Strato (m)	Nspt corretto per presenza falda	Correlazione	Ko
Strato 1	15.52	0.60	15.52	Navfac 1971-1982	3.23
Strato 2	33.74	0.90	33.74	Navfac 1971-1982	6.11
Strato 3	21.2	1.60	21.2	Navfac 1971-1982	4.26
Strato 4	45.12	2.30	45.12	Navfac 1971-1982	7.53
Strato 5	20.42	2.90	20.42	Navfac 1971-1982	4.12
Strato 6	45.66	3.30	45.66	Navfac 1971-1982	7.59
Strato 7	18.35	6.00	18.35	Navfac 1971-1982	3.75

Qc (Resistenza punta Penetrometro Statico)

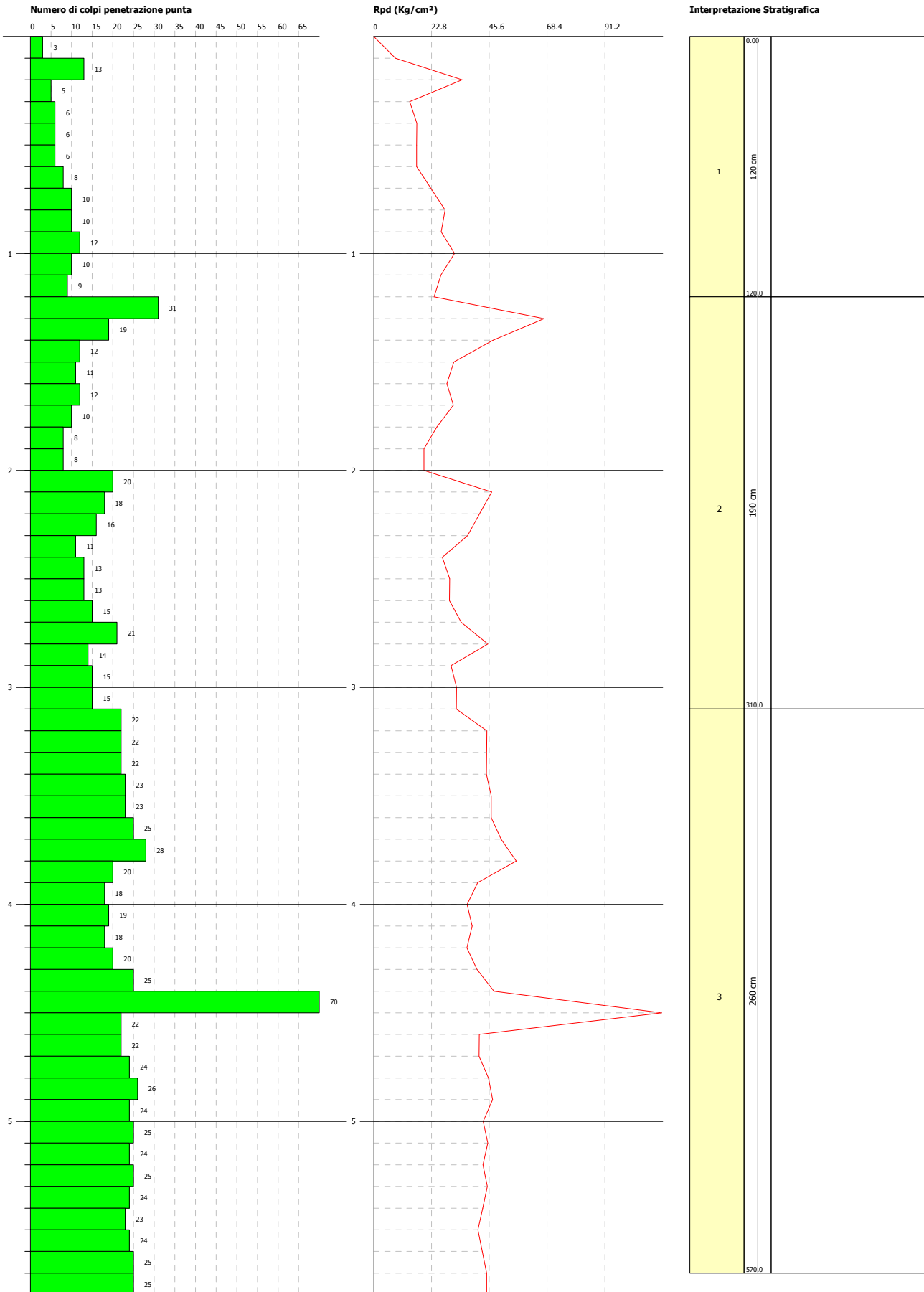
	Nspt	Prof. Strato (m)	Nspt corretto per presenza falda	Correlazione	Qc (Kg/cm ²)
Strato 1	15.52	0.60	15.52	Robertson 1983	31.04
Strato 2	33.74	0.90	33.74	Robertson 1983	67.48
Strato 3	21.2	1.60	21.2	Robertson 1983	42.40
Strato 4	45.12	2.30	45.12	Robertson 1983	90.24
Strato 5	20.42	2.90	20.42	Robertson 1983	40.84
Strato 6	45.66	3.30	45.66	Robertson 1983	91.32
Strato 7	18.35	6.00	18.35	Robertson 1983	36.70

PROVA PENETROMETRICA DINAMICA P 1
Strumento utilizzato... DPM (DL030 10) (Medium)
DIAGRAMMA NUMERO COLPI PUNTA-Rpd

Committente :
 Cantiere :
 Località :

Data :23/11/2016

Scala 1:25

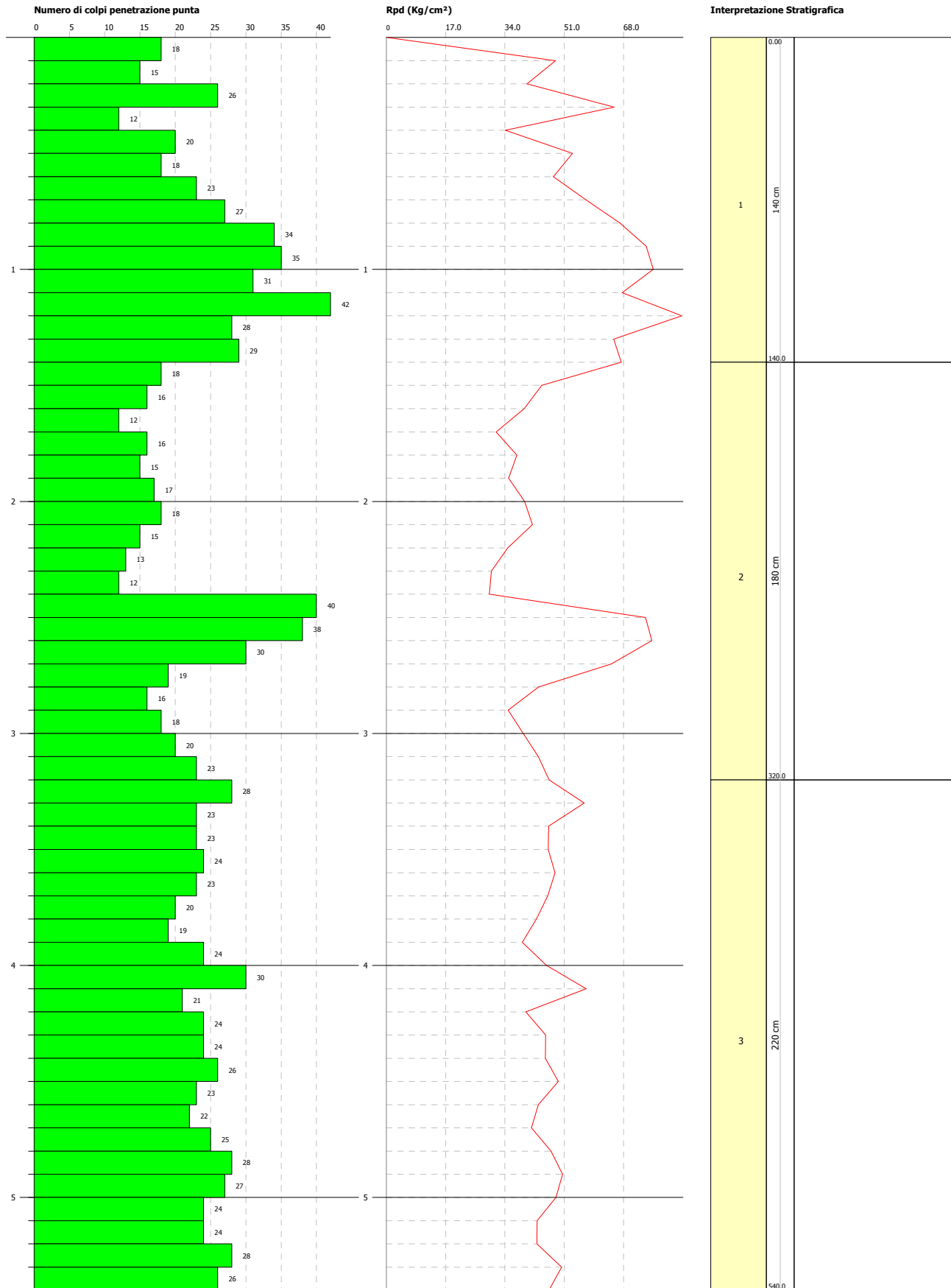


PROVA PENETROMETRICA DINAMICA P2
Strumento utilizzato... DPM (DL030 10) (Medium)
DIAGRAMMA NUMERO COLPI PUNTA-Rpd

Committente :
 Cantiere :
 Località :

Data :23/11/2016

Scala 1:24

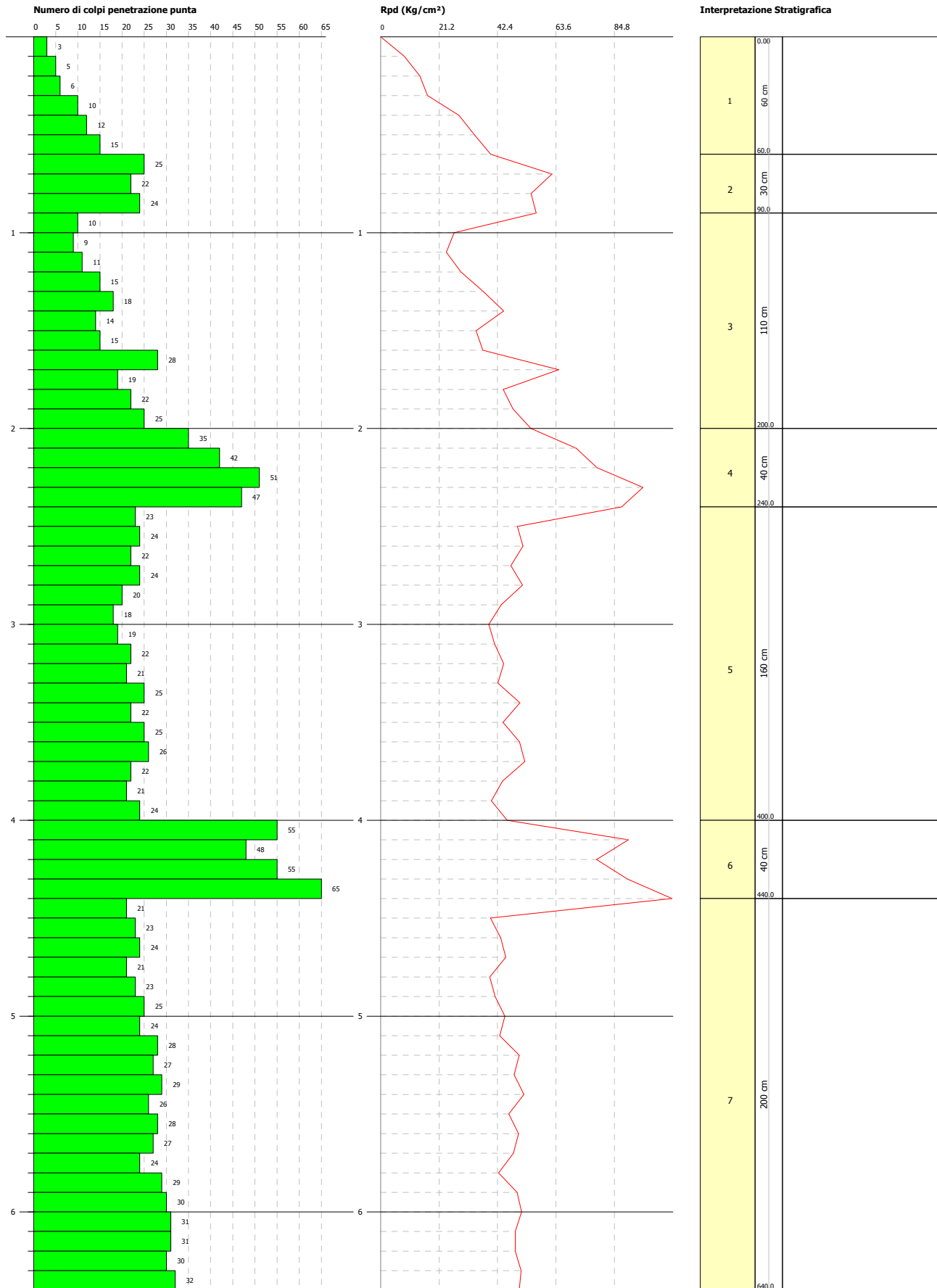


PROVA PENETROMETRICA DINAMICA P3
Strumento utilizzato... DPM (DL030 10) (Medium)
DIAGRAMMA NUMERO COLPI PUNTA-Rpd

Committente :
 Cantiere :
 Località :

Data :23/11/2016

Scala 1:28



PROVA PENETROMETRICA DINAMICA P4
Strumento utilizzato... DPM (DL030 10) (Medium)
DIAGRAMMA NUMERO COLPI PUNTA-Rpd

Committente :
 Cantiere :
 Località :

Data :23/11/2016

Scala 1:26

